

# Lange oder kurze Schwellen?

Autor(en): **Birk, Alfred**

Objektyp: **Article**

Zeitschrift: **Schweizerische Bauzeitung**

Band (Jahr): **85/86 (1925)**

Heft 9

PDF erstellt am: **24.09.2024**

Persistenter Link: <https://doi.org/10.5169/seals-40183>

## **Nutzungsbedingungen**

Die ETH-Bibliothek ist Anbieterin der digitalisierten Zeitschriften. Sie besitzt keine Urheberrechte an den Inhalten der Zeitschriften. Die Rechte liegen in der Regel bei den Herausgebern.

Die auf der Plattform e-periodica veröffentlichten Dokumente stehen für nicht-kommerzielle Zwecke in Lehre und Forschung sowie für die private Nutzung frei zur Verfügung. Einzelne Dateien oder Ausdrucke aus diesem Angebot können zusammen mit diesen Nutzungsbedingungen und den korrekten Herkunftsbezeichnungen weitergegeben werden.

Das Veröffentlichen von Bildern in Print- und Online-Publikationen ist nur mit vorheriger Genehmigung der Rechteinhaber erlaubt. Die systematische Speicherung von Teilen des elektronischen Angebots auf anderen Servern bedarf ebenfalls des schriftlichen Einverständnisses der Rechteinhaber.

## **Haftungsausschluss**

Alle Angaben erfolgen ohne Gewähr für Vollständigkeit oder Richtigkeit. Es wird keine Haftung übernommen für Schäden durch die Verwendung von Informationen aus diesem Online-Angebot oder durch das Fehlen von Informationen. Dies gilt auch für Inhalte Dritter, die über dieses Angebot zugänglich sind.

eines feinen Risses die Torsionsbeanspruchungen ausserordentlich schnell und stark anwachsen, sodass das Auftreten eines feinen Risses genügt, um die Zerstörung der Welle in kürzester Frist herbeizuführen. Für Wellen mit ausgesprochen ellipsenförmigem Querschnitt ( $\lambda_1$  sehr verschieden von 1) ist die Bruchgefahr infolge eines feinen, in der grossen Axe der Ellipse gelegenen Spaltes nicht so gross wie bei einer nahezu kreisförmigen Welle. So erhält man z. B. für  $\lambda_1 = 2$  den Wert  $\tau_{\max} = \frac{2}{3} \tau_{\max}^*$ , für  $\lambda_1 = 10$  den Wert  $\tau_{\max} = 1,26 \tau_{\max}^*$ , woraus ersichtlich ist, dass das Material in diesen Fällen keine besonders hohe Mehrbeanspruchung erleidet. Dagegen ergibt sich aus der zweiten Formel (13) für einen feinen Spalt in der kleinen Axe ( $\delta = 1$ ) eine unzulässig hohe Torsionsbeanspruchung, sodass in diesem Falle auch sehr schnell ein Bruch der Welle eintreten wird<sup>1)</sup>.

b)  $\lambda_2$  von der gleichen Grössenordnung wie  $\lambda_1$ . In diesen Fällen findet man für die beiden charakteristischen Grössen  $\vartheta$  und  $\tau_{\max}$  folgende Ausdrücke:

$$\vartheta = \frac{1}{2\pi(\lambda_2 - \lambda_1)GJ} M_t, \quad \tau_{\max} = \frac{\lambda_1}{\lambda_1^2 - 1} \frac{b_1}{2\pi(1 - \delta)J} M_t \quad (15)$$

$$J = \frac{\delta_1^5}{5t} (1 - \delta^5) + A + B \ln \frac{\lambda_1 - 1}{\lambda_2 - 1} - C \ln \frac{\lambda_1 + 1}{\lambda_2 + 1} \quad (16)$$

und  $A, B, C$ , folgende Abkürzungen bedeuten:

$$\left. \begin{aligned} A &= \frac{\mu^2 t^2 [t^2 + 6b_2(t + 3b_2)] - 3\mu\lambda_1 t^3(t + 8b_2) + 3t^4(3\lambda_2 + 1)}{3\mu^4} \\ B &= \frac{\mu^4 b_2^4 - \sigma t \{ 4\mu^3 b_2^3 - \sigma t [6\mu^2 b_2^2 - \sigma t(4\mu b_2 - \sigma t)] \}}{\mu^5} \\ C &= \frac{\mu^4 b_2^4 - \varrho t \{ 4\mu^3 b_2^3 - \varrho t [6\mu^2 b_2^2 - \varrho t(4\mu b_2 - \varrho t)] \}}{\mu^5} \end{aligned} \right\} (17)$$

wobei  $t = b_1 - b_2$ ,  $\mu = \lambda_1 - \lambda_2$ ,  $\sigma = \lambda_2 - 1$ ,  $\varrho = \lambda_2 + 1$ .

2. Einseitig ellipsenringförmiger Querschnitt mit konstantem Axenverhältnis und variabler Wandstärke.

$$(\lambda_1 = \lambda_2 = \lambda = \text{konst.}, \text{ also } \lambda_1 - \lambda_2 = \mu = 0; e \neq 0).$$

In diesem Falle findet man:

$$\tau_{\max} = \frac{2(1 + \nu)}{\pi a_1 b_1^2 (1 - \delta^4)} M_t; \quad \vartheta = \frac{2(1 + \nu)K}{\pi a_1^2 b_1^2 (1 - \delta^4) t} M_t \quad (18)$$

wobei  $\nu = e/t$  und

$$K = \frac{(1 + \nu^2)\lambda^2 - (1 + 2\nu) - (1 + \nu)(\lambda^2 - 1)\sqrt{1 + 2\nu}}{\lambda^2 \nu^2 \sqrt{1 + 2\nu}} \quad (19)$$

Zum Schluss sei noch hervorgehoben, dass für  $\lambda = 1$  die Formeln (18) in jene für den einseitig kreisringförmigen Querschnitt übergehen, die schon aus der Literatur bekannt sind<sup>2)</sup>. Es ergibt sich somit eine indirekte Bestätigung der von uns abgeleiteten Gleichungen; auf eine eingehende Diskussion der erhaltenen Resultate muss aus Raumrücksichten verzichtet werden.

## Lange oder kurze Schwellen?

Von Prof. Dr.-Ing. e. h. ALFRED BIRK, Techn. Hochschule, Prag.<sup>3)</sup>

### I. Die wichtigsten der in der Literatur niedergelegten Anschauungen.

Seitdem Dr. H. Zimmermann in seinem 1888 erschienenen Werke über die Berechnung des Eisenbahnoberbaues das Verhalten kurzer und langer Schwellen (240 bis 270 cm) unter den Einwirkungen des Betriebes eingehend untersucht hat, ist diese wirtschaftlich wichtige Frage nicht mehr zur Ruhe gekommen.

Zimmermann vergleicht Schwellen von 240, 255 und 270 cm Länge bei nachgiebiger und fester Bettung und bei gleichmässiger Unterstopfung auf die ganze Länge hinsichtlich der Druckverteilung und der Senkungen und findet (§ 26), dass die Schwellenenden gegenüber der Schwellenmitte umso früher und um so stärker sich senken, je kürzer die Schwelle ist. Wird nun nicht häufig und gut nachgestopft, so können bleibende Verbiegungen der Schwellen und mithin auch Spurerweiterungen eintreten. Um diesem Uebel bei kürzern Schwellen abzuhelfen, unterstopft man die Schwellen in der Mitte weniger fest als an den Enden. Dadurch wird, wie Zimmermann rechnerisch nachweist, das Ueberwiegen der Senkung und des Druckes unter den äusseren Teilen der Schwelle zwar beseitigt, aber der Druck auf die vorher weniger belasteten Teile gesteigert und namentlich der Grösstwert der Drücke bedeutend erhöht. Da überdies die ungleichmässige Unterstopfung das seitliche Ausweichen der stark gedrückten Bettungsteile nach der weniger belasteten Mitte hin fördert und dadurch die dauernde Erhaltung der richtigen Höhenlage erschwert, hält Zimmermann dieses Verfahren nur für einen Notbehelf und empfiehlt, den Schwellen die Länge von 270 cm zu geben.

In seinem Berichte über den Bau der Geleise für die V. Session des Internationalen Eisenbahnkongresses (1895)

<sup>1)</sup> Die hier erhaltenen Ergebnisse finden im grossen und ganzen ihre Bestätigung in den Arbeiten von Greenhill („Fluid motion between elliptic cylinders and confocal ellipsoids“, Quarterly Journal, Vol. 16 (1879), S. 227) und A. N. Dinnik („Die Analogie von Prandtl, der Einfluss eines radialen Risses bei Torsion der kreis- und kreisringförmigen Welle“, erschienen in russischer Sprache in den „Mitteilungen des Donschen polytechnischen Institutes“, Nowo-Tscherkask, 1912, I Bd., II. Teil, S. 309), die beide auf andern Wegen den Einfluss feiner Risse auf die Torsionsbeanspruchung von Wellen untersucht haben. Greenhill gelangt z. B. in dem Sonderfalle eines von zwei konfokalen Ellipsen begrenzten Ringes, bei dem die innere Randkurve zu einem engen Spalt zwischen den beiden Brennpunkten der äusseren Ellipse ausartet, zu dem Ergebnis, dass z. B. für Ellipsen mit dem Axenverhältnis  $\lambda = 1,2$  die maximale Schubspannung auf den sechsfachen Betrag derjenigen der Vollenellipse ansteigt, was mit dem von uns gefundenen Ergebnis ziemlich gut übereinstimmt.

äusserte sich Baudirektor Ast über die Schwellenfrage in nachstehender Weise: „Ein geeignetes Mittel, die gegebene Last auf eine möglichst grosse Zahl von Schwellen und auf eine möglichst grosse Schotterbettfläche zu verteilen, besteht in der Verminderung der Schwellenentfernung und in der Vergrösserung der Schwellenauflegerfläche im Schotterbette. Diese zwei Massnahmen haben jedoch ihre Grenze; die erste, weil die Möglichkeit der Unterstopfung gewahrt bleiben muss; die zweite, weil einerseits die Schwellenbreite nicht zu gross sein darf, wenn man gut unterstopfen können will, und weil andererseits die Länge von der Spurweite abhängt. Die Verlängerung der Schwelle kann sich natürlich nur auf die Teile erstrecken, die ausserhalb der Schienenstränge liegen; wenn diese Verlängerung eine gewisse Grenze überschreitet, erzeugen die Schienenbelastungen, die auf die Strecke innerhalb der Spurweite einwirken, eine Ueberhöhung der Schwellenenden und die überflüssig langen Schwellenteile tragen nicht mehr.“

In seiner Abhandlung über die Eisenbahnschwelle und ihr Auflager (Bulletin de la Commission internationale du Congrès des chemins de fer 1895) spricht Ast die Anschauung aus, dass der Bettungsdruck  $2 \text{ kg/cm}^2$  nicht überschreiten dürfe und dass für Geleise, die grössern Anforderungen ausgesetzt sind, statische Bettungsdrücke zwischen  $1,66$  und  $1,80 \text{ kg/cm}^2$ , wie die Schwelle von  $22 \text{ cm}$  Breite und  $270 \text{ cm}$  Länge sie ergibt, noch hoch genannt werden müssen, weshalb er die  $22 \text{ cm}$  breite Schwelle beim Geleisebau für Bahnen mit lebhaftem und beschleunigtem Verkehr für wirtschaftlich nicht verwendbar hält. Als wirksamstes Mittel zur Verminderung des Bettungsdruckes und mithin der Erhaltungs- und Regelungskosten der Geleise erklärt Ast auf Grund seiner Berechnungen und Beobachtungen die Verwendung langer Querschwellen ( $270 \text{ cm}$ ) an Stelle der kurzen Schwellen ( $240 \text{ cm}$ ). Die mittlere Schwelle von  $250 \text{ cm}$  Länge ist — sagt Ast — je nach der Breite verschieden verwendbar. Bei der Breite von  $22 \text{ cm}$  entstehen Bettungsdrücke, die dem Grenzwerte von  $2 \text{ kg/cm}^2$  sehr nahe sind und daher von dem Geleise der Hauptbahnen auszuschliessen seien; die Schwelle von  $26 \text{ cm}$  Breite wird bei Fahrzeugen mit grossen Radständen und steifer Geleiseanordnung, die höchstens  $4,2 \text{ t}$  Schienenendruck her-

<sup>2)</sup> A. und L. Föppl, Drang und Zwang, Band II, Seite 117.

<sup>3)</sup> Das Erscheinen dieser Arbeit hat sich ohne Schuld des Verfassers unliebsam verzögert.  
Red.

vorrufen, auch einem grossen Verkehre genügen; für starken Verkehr muss aber die Schwelle von 250 cm Länge unbedingt 30 cm Breite erhalten, wenn wirtschaftlich gute Ergebnisse in der Erhaltung erzielt werden sollen.

Im „Organ für die Fortschritte des Eisenbahnwesens“ (Heft 12 des Jahrgangs 1915) berichtet der Chef-Ingenieur der niederländischen Zentral-Eisenbahn-Gesellschaft van Dijk über die von ihm vorgenommenen Versuche über die Eindrückung der Querschwellen in die Bettung. Er bediente sich hierfür der in Abb. 1 angedeuteten

Vorrichtung; zur Messung der Schwelleneindrückungen wurde ein Masstab von dreieckigem Querschnitt mit zehnfacher Vergrösserung verwendet, den man zwischen die Schwelle und das als Messlinie angebrachte T-Eisen an 19 durch Holzschrauben an der Schwelle bezeich-

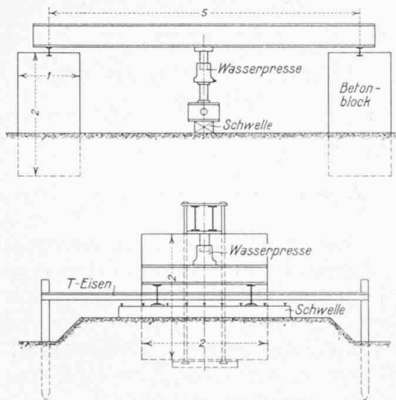


Abb. 1.

neten Stellen einschob. Die 3 m lange Schwelle lag auf Sandbettung auf dem ebenfalls aus Sand bestehenden Boden; sie hatte einen Querschnitt von  $25 \times 15 \text{ cm}^2$  für Vollspur und  $22 \times 12 \text{ cm}^2$  für 1,067 m Spur. Bei einigen Versuchsreihen wurde bei ständiger Belastung jedesmal eine dünnere Lage Bettung unter den Schwellenenden weggenommen, sodass das Auflager allmählich 3,0 — 2,8 — 2,6 — 2,4 — 2,2 m lang wurde; bei andern Reihen wurde der Unterschied der Eindrückung zwischen voller und teilweiser Unterstopfung untersucht und die Schwelle für jede Länge neu auf die verlangte Länge unterstopft. Aus den Ergebnissen seiner Versuche zieht van Dijk nachstehende Folgerungen:

a) Die berechneten und die beobachteten Werte der Schwelleneindrückungen an den Enden, an der Aussenseite der Schienenaufleger und in Schwellenmitte stimmen ziemlich gut überein.

b) Es empfiehlt sich, die Schwellen in der Mitte auf eine Länge von mindestens  $u = 2s - L$  ( $s$  = Schienenabstand,  $L$  = Schwellenlänge) nicht zu unterstopfen, weil dadurch die Gleichmässigkeit der Eindrückung begünstigt wird.

c) Bei  $L = 2,6 \text{ m}$  erreicht man ungefähr die untere Grenze der zweckmässigen Schwellenlänge; die 2,7 m lange Schwelle ist günstiger, die 2,8 m lange noch günstiger.

d) Bei hohem Werte der Bettungszahl  $C$  sind kürzere Schwellen noch wirtschaftlich richtig; bei  $C = 8$  zeigt die 2,5 m lange Schwelle noch günstige Druckverteilung.

Abweichend von der Anschauung Zimmermanns über die Bedeutung der teilweisen Unterstopfung will van Dijk die volle Unterstopfung allgemein schon deshalb nicht zulassen, weil man dabei nie sicher sei, ob die Arbeiter nicht zufällig die Mitte der Schwelle stärker unterstopft haben, als die Enden.

### II. Die Frage der Schwellenlänge in der Anwendung.

In der Anwendung findet sich die Schwelle von 2,4 m Länge noch bei den ältern Bahnen Oesterreichs und seiner Nachfolgestaaten, während bei den neuern Bahnbauten die Schwellenlänge zwischen 2,5 m und 2,7 m schwankt. Allgemein verbreitet ist die Schwellenlänge von 2,44 m bei den nordamerikanischen Eisenbahnen; die wesentlichen Merkmale des amerikanischen Oberbaues sind:

- Schienen: 42,17 kg/m bis 49,6 kg/m,
- Schwellen:  $0,178 \times 0,203 \times 2,44 \text{ m}$  und  $0,178 \times 0,229 \times 2,59 \text{ m}$ ;
- 18 Stück auf 9,14 m Schienenlänge.

Bettung: 0,305 m Stärke unter Schwelle.

Eine Schwellenlänge von 2,5 m steht bei den sächsischen Staatsbahnen in Anwendung. Belgien, Frankreich,

Holland, Italien verlangen Schwellen von 2,6 m Länge; in Deutschland, in der Schweiz und in Schweden hat die Schwellenlänge von 2,7 m schon seit Jahren die Oberhand gewonnen.

### III. Die Versuche Cuënots.

Auf den französischen Staatsbahnen wurden in den Jahren 1903 bis 1905 mit Querschwellen verschiedener Bauweise Versuche durchgeführt, deren Ergebnisse Ingenieur

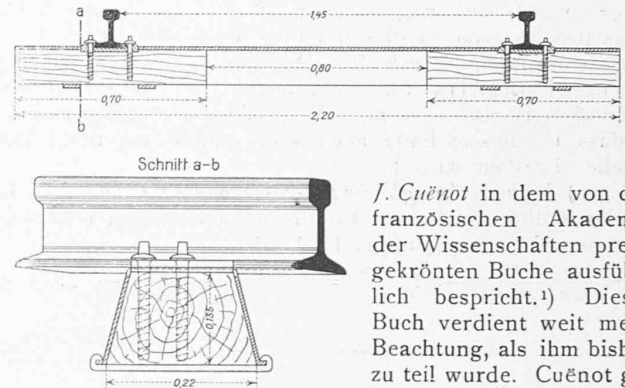


Abb. 2.

J. Cuënot in dem von der französischen Akademie der Wissenschaften preisgekröntem Buche ausführlich bespricht.<sup>1)</sup> Dieses Buch verdient weit mehr Beachtung, als ihm bisher zu teil wurde. Cuënot gelangt zu Folgerungen, die in manchen Punkten von den oben mitgeteilten An-

schaunungen wesentlich abweichen und wichtige Beiträge zur Frage der wirtschaftlich günstigen Schwellenlänge bieten.

Die Versuchsschwellen. Veranlassung zu den Versuchen gab die „Verbundschwelle“ von Devaux, Michel und Richard, die durch die Zusammensetzung aus Holz und Eisen gekennzeichnet ist (Abbildung 2). In der Versuchsform, die später einige Abänderungen erfahren hat, bestand sie aus einem eisernen Gerippe in der Form eines umgekehrten Troges, in das an beiden Enden Holzklötze eingelegt sind; unter dem Schienenfusse ist die Decke des Eisengerippes derart ausgeschnitten, dass die Schiene in gewöhnlicher Weise auf dem Holze befestigt werden kann. Eisenklammern verbinden Gerippe und Einlage zu einem möglichst einheitlich wirkenden Ganzen. Die Versuchsschwellen hatten eine Länge von 2,50 m, die Holzklötze waren 0,70 m lang. Von dem Gesamtgewichte von 78 kg entfielen 46 kg auf das Eisengerippe. Zu den Versuchen über die Schwellendurchbiegungen bei ruhender und bei bewegter Last wurden überdies mit Kreosot getränkte Eichenschwellen von 2,60 m Länge herangezogen. Die Uebersicht I gibt die wichtigsten Ausmasse und statischen Grössen der in Vergleich gezogenen Schwellen an, ferner den Wert  $EJ = \text{Elastizitätsziffer} \times \text{Trägheitsmoment}$ , als Mass der Steifheit.

<sup>1)</sup> Etude sur les déformations des voies de chemins de fer et les moyens d'y remédier. Par M. J. Cuënot, ing. des ponts et chaussées, attaché au contrôle de la compagnie P. L. M. Paris, H. Dunod et E. Pinat. 1905.

Uebersicht I.

Schwelle	Zugfestigkeit kg/cm <sup>2</sup>	Dehnung an der Elastizitätsgrenze, %	Gewicht der Schwelle kg	in cm			Trägheitsmoment cm <sup>4</sup>	EJ
				Breite	Höhe	Länge		
Holzwelle . . . . .	200	2	70	22	14	260	5030	503000000
Verbundschwelle . . . . .	3000	22	78	25	14	250	—	—
Im vollen Holz-Eisenquer- schnitt . . . . .	—	—	—	—	—	—	4163 <sup>1)</sup>	1429000000 <sup>2)</sup>
In der Mitte . . . . .	—	—	—	—	—	—	533	1066000000 <sup>4)</sup>
Am Schienenaufleger . . . . .	—	—	—	—	—	—	3859 <sup>3)</sup>	821000000 <sup>5)</sup>

1) Trägheitsmoment des Holzblockes 3630 cm<sup>4</sup>.  
 2) Trägheitsmoment des oben ausgeschnittenen Eisengerippes 229 cm<sup>4</sup>.  
 3)  $3630 \cdot 100000 + 533 \cdot 2000000$ .  
 4)  $533 \cdot 2000000$ .  
 5)  $3630 \cdot 100000 + 229 \cdot 2000000$

Die Versuchstrecke lag in einem Hauptbahngeleise, in einer Wagerechten zwischen den Neigungen von 8,9 ‰ und 4,6 ‰ im Einlaufe in einen Bogen von 600 m Halbmesser; sie umfasste sechs Schienen von 8 m Länge auf je zwölf Schwellen. Es waren 50 Verbundschwellen zwischen je elf Eichenschwellen in zusammenhängender Folge eingelegt. Das Geleise liegt in der Versuchstrecke auf einem 1,5 m hohen Damm aus tonigem Boden. Die Bettung

stand; bei den Bewegungen der Schwelle unter der darüber rollenden Last bildeten sich dann ruffreie Flächen, deren Höhen den Senkungen oder Hebungen der Schwelle entsprachen. Versuche haben gezeigt, dass bei ruhender Last die Ablesungen an dieser Einrichtung mit jenen am oben beschriebenen Keilmasstabe vollkommen übereinstimmten.

Der für die Versuche verwendete Eisenbahnzug bestand aus einer C-Lokomotive von 35 t Dienstgewicht, einem Tender von 24 t und einem Güterwagen. Abbildung 5 zeigt die Stellung der Lokomotive für die Untersuchung der Schwelle T. Unmittelbar nach Auffahrt des Zuges erfolgte die erste Ablesung, die zweite nach Ablauf von zehn Minuten. Die Beobachtungen bei bewegter Last fanden im gewöhnlichen Betriebe statt und zwar bei Zügen verschiedener Zusammensetzung und verschiedener Geschwindigkeiten.

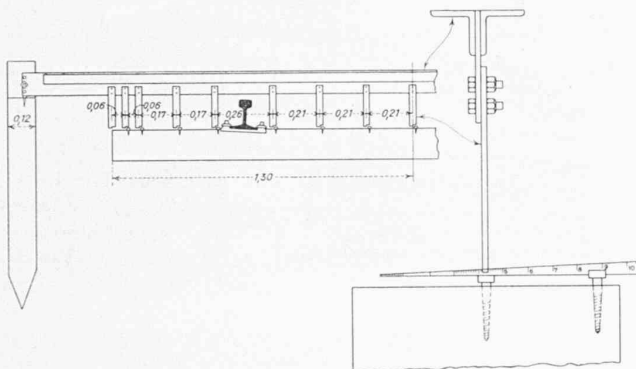


Abb. 3.

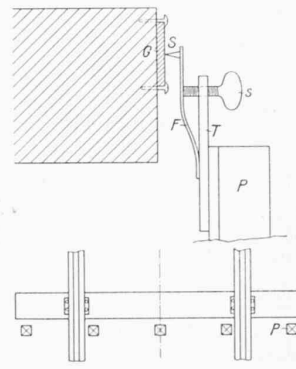


Abb. 4.

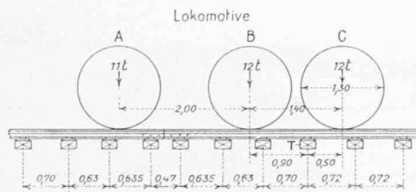


Abbildung 5.

ist unter den Schwellen im Schienenaufleger 26 cm stark und besteht aus einem Gemenge von kalkhaltigem Kiesel und tonigem Sand, das bei trockenem Wetter ein sehr dichtes Gemenge, bei feuchtem Wetter dagegen eine mehr oder weniger teigartige Masse bildet. Die Schienen sind aussen bis unter Kopf eingeschottert. Es lagen leichtere Schienen (34,5 kg/m, Form P. L. M. A.) und schwerere Schienen (39,0 kg/m, Form P. M.) in der Versuchstrecke; sie waren auf den Schwellen unter Verwendung von Unterlagplatten mit je zwei Schrauben aussen und innen befestigt. Der äussere, gekrümmte Schienenstrang — auf der äusseren Seite des Bettungskörpers befindlich — hat eine Ueberhöhung von 83 mm.

Die von Cuënot verwendete Einrichtung zur Messung der Senkungen und Durchbiegungen der Schwellen bei ruhender Last ist aus Abbildung 3 ersichtlich. Sie gleicht der oben beschriebenen, später von van Dijk benutzten Anordnung: die Ablesestellen sind auf den Schwellen durch Schrauben mit viereckigen Köpfen festgelegt; als Vergleichsline diente ein eisernes Lineal, das an den Enden an feststehenden Pfählen unverrückbar angebracht war und über jedem Ablesepunkte lotrechte Stäbe mit Einschnitten an den untern Enden trug. Zum Messen verwendete Cuënot ebenfalls einen Messkeil mit dreieckigem Querschnitt, der Ablesungen auf Zehntelmillimeter gestattete. Die Ablesungen erfolgten von Punkt zu Punkt zunächst von links nach rechts und dann rücklaufend von rechts nach links; als Messergebnisse galten die Mittelwerte aus den beiden Ablesungen.

Die Einrichtung für die Versuche mit bewegter Last (Abbildung 4) bestand aus einem Stifte S, den eine regelbare Feder F gegen eine an der Schwelle angebrachte Glasplatte G drückt; diese Platte wurde unmittelbar vor dem Versuche mit Rauch geschwärzt. Zur Herstellung der Vergleichsline versetzte man den Stift bei unbelasteter Schwelle in leichte wagerechte Schwingungen, sodass auf der Glasplatte eine ruffreie Linie von 2 bis 3 mm Länge ent-

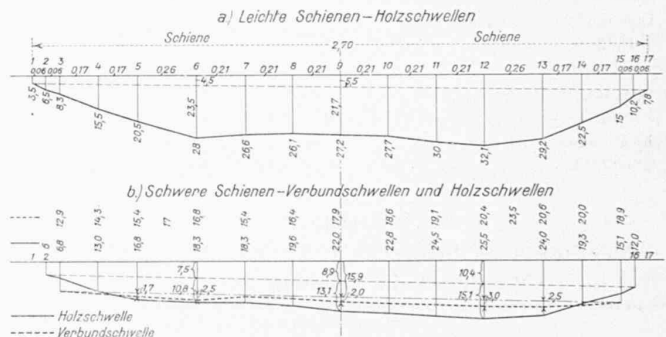


Abbildung 6.

IV. Ergebnisse der Versuche Cuënots bei ruhender Belastung.

Die ersten Versuche wurden im Monat Mai 1903 bei regnerischer Witterung an neun Holzschwellen und 21 Verbundschwellen durchgeführt; im Monat Juni fand nach einigen mehr trockenen Wochen eine Wiederholung mit den selben Schwellen statt; die dritte Versuchsreihe im Monat Juli fiel in eine, nach starker Hitze eingetretene Regenzeit. Die Versuchsschwellen waren die gleichen, auch alle Begleitumstände waren unverändert. Die Ergebnisse zeigten in allen drei Fällen im allgemeinen das selbe Bild; nur machte sich der günstige Einfluss der allmählich fortschreitenden Verdichtung der Unterbettung in dem Ausmasse der Senkungen und Durchbiegungen der Schwellen bemerkbar.

Die Biegungslinien, die Cuënot in seinem Werke für jede Schwelle und jeden Versuch dargestellt hat, zeigen durchwegs, allerdings mehr oder weniger scharf ausgeprägt, die Form eines Trogquerschnittes, indem sie von den Enden aus gegen die Schienen zu ziemlich steil abfallen, dann nahezu wagrecht mit leichter Hebung in Schwellenmitte verlaufen; die grössten Werte der Biegung liegen in der Nähe der inneren Schienenfusskante. Die Abbildung 6 zeigt die Biegungslinien der Schwellen, wie sie sich für die leichteren und die schwereren Schienen auf Grund der Mittelwerte bei den Versuchen im Monat Mai darstellen; die Masse sind in Zehntelmillimeter eingeschrieben. Die Durchbiegungen sind bei den schwereren Schienen grösser als bei den leichten. Die Uebersicht II kennzeichnet durch einige Angaben diese Verhältnisse bei den Holzschwellen.

Die Verbund-Schwellen erleiden geringere Durchbiegungen als die Holzschwellen; die Biegungslinie nähert

Uebersicht II.

Mittelwerte bei Holzschwellen in Zehntelmillimetern.

Ablesestelle	Ablesung bei		Einsenkung bei		Durchbiegung bei	
	leichter	schwerer	leichter	schwerer	leichter	schwerer
	Schiene		Schiene		Schiene	
Schwellenende, äusserer Bogenstrang . . .	3,5	6,0	3,5	6,0	—	—
0,13 m innerhalb des äusseren Strangs . . .	28,0	18,3	4,5	7,5	23,5	10,8
Schwellenmitte . . .	27,2	22,0	5,5	8,9	21,7	13,1
0,13 m innerhalb des inneren Strangs . . .	32,1	25,5	6,5	10,4	25,6	15,1
Schwellenende, innerer Bogenstrang . . .	7,8	12,0	7,8	12,0	—	—

Uebersicht III.

Mittelwerte für Holzschwellen und Verbundschwellen in Zehntelmillimetern.

Ablesestelle	Ablesung		Senkung		Durchbiegung	
	Holz-	Verbund-	Holz-	Verbund-	Holz-	Verbund-
	Schwelle		Schwelle		Schwelle	
Schwellenende, äusserer Bogenstrang . . . . .	6,0	12,9	6,0	12,9	—	—
0,13 m innerhalb des äusseren Strangs . . . . .	18,3	16,8	7,5	14,3	10,8	2,5
Schwellenmitte . . . . .	22,0	17,9	8,9	15,9	13,1	2,0
0,13 m innerhalb des inneren Strangs . . . . .	25,5	20,4	10,4	17,4	15,1	3,0
Schwellenende, innerer Bogenstrang . . . . .	12,0	18,9	12,0	18,9	—	—

Uebersicht IV.

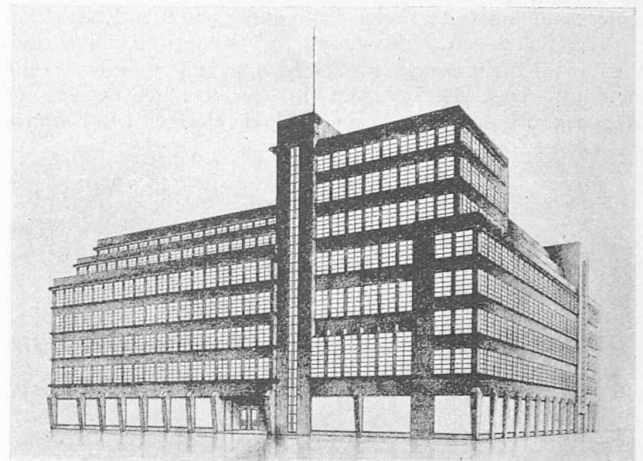
Ablesungen an Schwellen unter schweren Schienen, Mittelwerte in Zehntelmillimetern.

Ablesestelle	Ablesungen an der Holz-Schwelle in den Monaten			Ablesungen an der Gemischten-Schwelle in den Monaten		
	Mai	Juni	Juli	Mai	Juni	Juli
	Schwellenende, äusserer Bogenstrang . . . . .	6,0	6,0	7,7	12,9	9,5
0,13 m innerhalb des äusseren Strangs . . . . .	18,3	18,0	19,7	16,8	12,8	12,8
Schwellenmitte . . . . .	22,0	19,1	20,8	17,9	15,8	15,8
0,13 m innerhalb des inneren Strangs . . . . .	25,5	23,2	24,5	20,4	18,6	18,6
Schwellenende, innerer Bogenstrang . . . . .	12,0	10,2	13,0	18,9	17,9	17,9

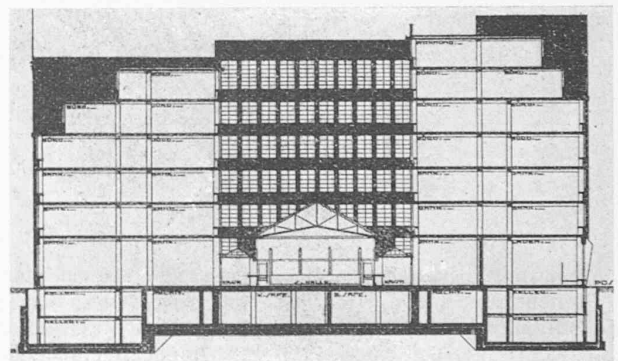
sich einer geraden Linie, die sich nach der Seite neigt, wo die Unterbettung den stärksten Druck erleidet, also gegen den innern Schienenstrang des gekrümmten Geleises. Die Einsenkung der Verbundschwellen ist grösser als die der Holzschwellen; der Verlauf der Einsenkungslinie beider Schwellenarten ist nahezu gleich. Vergleiche hierüber die Uebersicht III.

Nicht ohne Wert ist ein Vergleich der Ergebnisse bei den Versuchen in den drei aufeinander folgenden Monaten. Wie Uebersicht IV zeigt, hat die Holzschwelle im Monat Juli eine stärkere Einsenkung erfahren (0,77 mm und 1,3 mm gegenüber 0,6 mm und 1,2 mm im Monat Mai), aber die Durchbiegung ist abgeschwächt, die Trogform der Biegungslinie weist eine geringere Höhe (2,08 — 0,77 = 1,31 mm gegen 2,20 — 0,60 = 1,60 mm) und flachere Wände auf. Bei der Verbundschwelle zeigten sich im Monat Juli keine messbaren Unterschiede gegenüber dem Juni, nachdem schon im letzten Monat geringere Einsenkungen und Durchbiegungen beobachtet wurden; die Verbundschwelle hat mithin rascher als die Holzschwelle eine ruhige endgiltige Lage im Schotterbett gefunden. (Schluss folgt.)

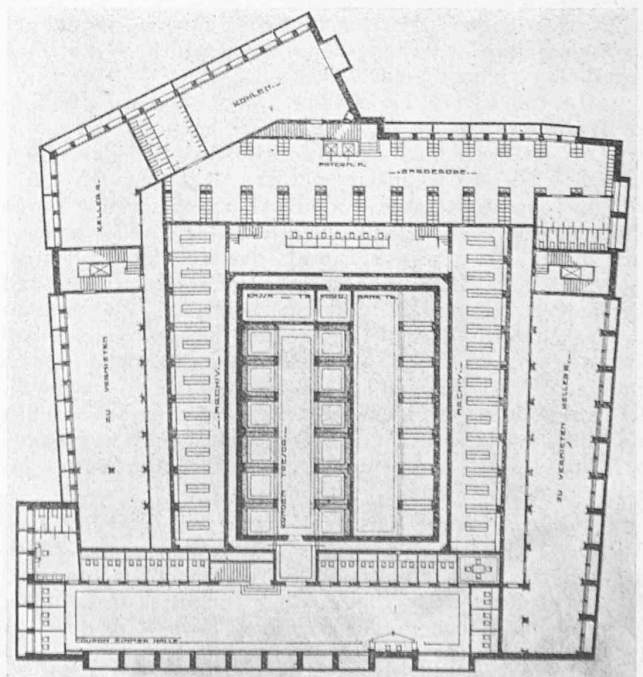
DIPLOMARBEITEN AUS DER E. T. H.



Dipl. Arch. Henri Arnold aus Klaten (Holländisch Java). Bankgebäude Ecke Paradeplatz-Poststrasse. Fassade gegen den Paradeplatz.



Querschnitt durch die Schallerhalle, Masstab 1:700. (NB. Die störende Schwärze der beiden obigen Clichés rührt von der Rötzelzeichnung der Originalblätter her.)



Grundriss vom 1. Keller (Safes und Tresor). — 1:700.